

исследования может оказаться полезной при исследовании и других сценариев возникновения стохастической синхронизации.

В заключение авторы выражают благодарность И.С. Арансону, А.Г. Максимову, М.И. Рабиновичу за полезные обсуждения и замечания.

## Список литературы

- [1] Афраймович В.С., Веричев Н.Н., Рабинович М.И. // Изв. вузов, Радиофизика. 1986. Т. 29. № 9. С. 1050-1060.
- [2] Кузнецов С.П., Пиковский А.С. Взаимодействие систем со стохастическим поведением. Нелинейные волны. Структуры и бифуркации. М.: Наука, 1987. 400 с.
- [3] Астахов В.В., Безручко Б.П., Пономаренко В.И., Селезнев Е.П. // Изв. вузов, Радиофизика. 1988. Т. 31. № 5. С. 627-630.
- [4] Анищенко В.С., Постнов Д.Э. // Письма в ЖТФ. 1988. Т. 14. В. 6. С. 569-573.
- [5] Дмитриев А.С., Кислов В.Я., Старков С.О. // ЖТФ. 1985. Т. 55. В. 12. С. 2417-2419.
- [6] Волковский А.Р., Рульков Н.Ф. // Письма в ЖТФ. 1988. Т. 14. В. 16. С. 1508-1513.
- [7] Веричев Н.Н. Методы качественной теории дифференциальных уравнений. Горький, 1986. С. 47-57.
- [8] Афраймович В.С. Внутренние бифуркации и кризисы атTRACTоров. Нелинейные волны. Структуры и бифуркации. М.: Наука, 1987. 400 с.

Горьковский государственный  
университет  
им. Н.И. Лобачевского

Поступило в Редакцию  
22 декабря 1988 г.

Письма в ЖТФ, том 15, вып. 7  
05.3; 08

12 апреля 1989 г.

РАДИАЦИОННО-АКУСТИЧЕСКИЕ ИССЛЕДОВАНИЯ  
МЕТАЛЛОВ В ОБЛАСТИ  
СТРУКТУРНОГО ФАЗОВОГО ПЕРЕХОДА

А.И. Калинченко, Г.Ф. Попов

1. Повсеместный интерес к исследованиям структурных фазовых переходов и метастабильных состояний в твердых телах, обусловленный возможностями создания на их основе новых материалов и устройств, делает актуальной разработку методов определения механических и теплофизических характеристик вещества, обладающих высоким временным разрешением, быстродействием и универсальностью. Для этих целей перспективным представляется использование

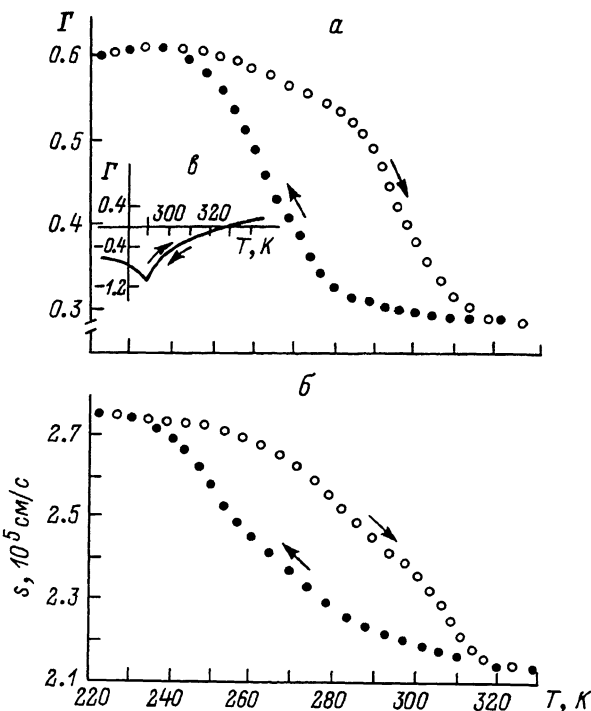


Рис. 1. Температурные зависимости термоупругих величин исследуемых образцов вблизи структурных фазовых переходов: а) параметра Грюнайзена  $\Gamma(T)$  сплава  $Cu - Al - Ni$ ; б) скорости звука  $s(T)$  сплава  $Cu - Al - Ni$ ; в) параметра Грюнайзена  $\Gamma(T)$  гадолиния.

эффекта возбуждения термоупругих волн при импульсном облучении вещества [1, 2]. В приближении мгновенного ввода энергии и при условии, что радиационный перегрев  $\Delta T$  не приводит к существенному изменению термоупругих характеристик вещества, выражение для амплитуды термоупругой волны  $\sigma(x, t)$  имеет вид [3]:

$$\sigma(x, t) = \frac{\Gamma}{2} \epsilon(x - st). \quad (1)$$

Соотношение (1) позволяет при контролируемой плотности поглощенной энергии  $\epsilon(x)$  проводить в радиационно-акустических экспериментах прямые измерения параметра Грюнайзена  $\Gamma$  и продольной скорости звука  $s$  в широком диапазоне изменения внешних условий.

В работе приводятся результаты экспериментальных исследований температурных зависимостей  $\Gamma(T)$  и  $s(T)$  для сплавов с эффектом памяти формы ( $Cu - Al - Ni$  и  $Ni - Ti$ ) и гадолиния вблизи их структурных фазовых переходов. Обсуждается

влияние тепловой и пространственной нелинейности параметра Грюнайзена на вид возбуждаемой акустической волны, а также возможность определения функции  $\Gamma(T)$  по нелинейному термоакустическому отклику облученного вещества.

2. Измерения проводились на пучке электронов с энергией  $E_e = 5$  МэВ, числом частиц в импульсе  $10^9 - 10^{10}$ , длительностью импульса  $t_b = 10^{-6}$  с, диаметром пучка  $D = 1-4$  см. Исследуемые образцы представляли собой круглые стержни диаметром  $d = 0.25$  см и длиной  $l \gg D$ . Выполнение условий  $x d < E_e$ ,  $d + s t_b \ll D$ , а также малость радиационного перегрева вещества  $\Delta T = (10^{-3} - 10^{-2})$  К за один пуск ускорителя обосновывали применимость выражения (1) при анализе термоакустического отклика ( $\chi$  — удельные потери энергии электрона).

На рис. 1, а, б представлены зависимости  $\Gamma(T)$  и  $\chi(T)$  для сплава  $Cu - Al - Ni$ . Гистерезисный характер зависимостей (направления изменения температуры обозначены стрелками) указывает на двухфазность материала в области фазового перехода. Установлено, что форма петли гистерезиса чувствительна к изменениям состава исследованных образцов, а положение петли на температурной оси систематически изменяется от цикла к циклу. Аналогичный характер имеет зависимость  $\Gamma(T)$  для никонида  $Ni - Ti$ . Напротив, измерения параметра Грюнайзена гадолиниевого образца в области фазового перехода „ферро-парамагнетик“ ( $T = 290$  К) (рис. 1, в) показали отсутствие гистерезиса, что характерно для фазовых переходов 2-го рода.

Представления о структуре вещества вблизи фазового перехода как квазиоднородной двухфазной системе [3] с зависящей от температуры концентрацией фаз позволили получить соотношение между величинами  $\Gamma(T)$  и  $\chi(T)$ , согласующееся с приведенными экспериментальными данными.

3. При сильном радиационном перегреве, либо когда начальная температура вещества  $T$  близка к нулю или точке разрыва функции  $\Gamma(T)$ , параметр Грюнайзена уже нельзя считать постоянной величиной в процессе генерации акустической волны. Поэтому связь между амплитудой волны  $\sigma(x, t)$  и плотностью поглощенной энергии  $\mathcal{E}(x, t)$  становится нелинейной:

$$\sigma(t) = \frac{1}{2s} \int_{-st}^{\infty} \frac{\partial}{\partial \tau} \left\{ \int_0^{\xi, \tau + \frac{\xi}{s}} \Gamma(\xi') d\xi' \right\} d\xi. \quad (2)$$

Здесь введены обозначения  $\tau = t - \frac{x}{s}$ ,  $\Gamma(\xi) = \Gamma(T + \frac{\xi}{\rho C})$ ,

$\rho$  — плотность,  $C$  — удельная теплоемкость вещества. Скорость звука  $s$  считается постоянной.

На рис. 2 показана трансформация упругой волны  $\sigma(t)$ , возбуждаемой в гадолинии, при изменении температуры. Расчет проводился с использованием экспериментально определенной зависимости

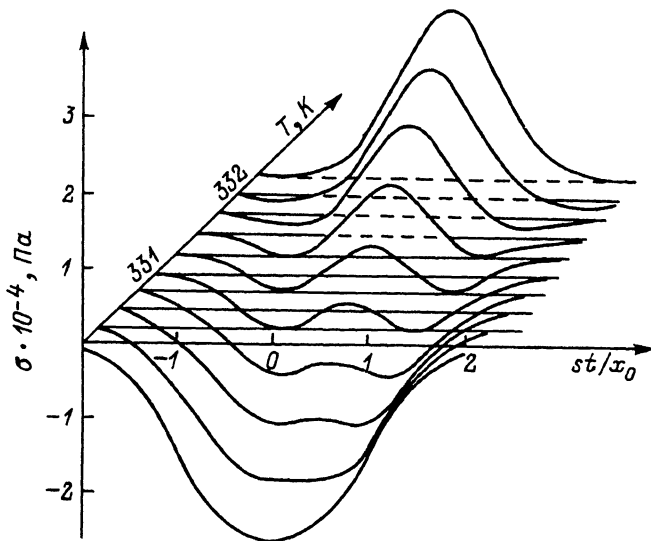


Рис. 2. Трансформация упругой волны  $\sigma(t)$ , возбуждаемой в га- долиниевом образце импульсным пучком релятивистских электронов, при изменении температуры образца Т (расчетная кривая).

$\Gamma(T)$  (рис. 1, в) для гауссова распределения поглощенной энергии с полушириной  $x_0$  и при условии  $t_b \ll \frac{x_0}{s}$ . Из рисунка видно, что вблизи нуля параметра Грюнайзена ( $T=332$  К) пропорциональность между профилем поглощенной энергии  $\xi(-st)$  и возбуждаемой упругой волной  $\sigma(t)$  нарушается, упругая волна приобретает характерный „W-образный“ вид и ни при какой температуре не обращается в нуль. Такое поведение акустического отклика согласуется с результатами экспериментальных исследований на гадолинии.

В приближении мгновенного ввода энергии выражение (2) приводится к виду, допускающему обращение:

$$\Gamma[\chi(\xi)] = 2 \frac{d\sigma(-\frac{\xi}{s})}{dx} \cdot \frac{dx(\xi)}{d\xi}, \quad (3)$$

где функция  $\chi = \chi(\xi)$  предполагается дифференцируемой во всем интервале изменения аргумента  $\xi$ . Выражение (3) дает решение задачи определения неизвестной зависимости  $\Gamma = \Gamma(\xi)$  по известному профилю поглощенной энергии  $\xi(x)$  и амплитуде акустического импульса  $\sigma(t)$ . Такой метод эффективен, если при однократном облучении образца в зоне взаимодействия реализуется достаточно широкий диапазон температур  $0 \leq \Delta t(x) \leq \Delta T_m$ . С этой точки зрения перспективным представляется использование

сильноточных электронных пучков ( $E_e \geq 1$  МэВ,  $J = 10^{13}-10^{16} \text{ см}^{-2}$ ,  $t_b \leq 1$  мкс), реализующих перегревы  $\Delta T_m = (1-10^3)$  К. Предельно допустимые значения переносов излучения  $J_m$  при этом ограничиваются откольной прочностью  $\sigma_c$  исследуемого материала [3] и (при наличии у образца свободной границы) определяются из уравнения

$$\frac{J_m}{2} \int_0^{\infty} \Gamma(\epsilon) d\epsilon = \sigma_c. \quad (4)$$

Отметим, что если параметр Грюнайзена не зависит от плотности поглощенной энергии  $\epsilon$ , но является функцией координаты  $\Gamma=\Gamma(x)$ , уравнение (1) остается справедливым, если в нем принять  $\Gamma=\Gamma(x-st)$ . Это позволяет определить функцию  $\Gamma=\Gamma(x)$  в зоне взаимодействия излучения с веществом.

Таким образом, величина  $\Gamma$ , играющая важную роль при построении уравнения состояния твердого тела, определяется в радиационно-акустическом эксперименте независимо от традиционных трудоемких измерений теплоемкости, коэффициента теплового расширения и сжимаемости. Это особенно важно при исследованиях вблизи фазовых переходов, характеризующихся аномальным поведением перечисленных характеристик, а также при исследованиях гетерогенных систем, для которых связь  $\Gamma$  с указанными характеристиками не является однозначной [3]. Использование сильноточных электронных пучков позволит определять температурную зависимость параметра Грюнайзена в широком диапазоне температур в результате одного измерения. В этом случае, как и при оценке влияния облучения на механические свойства материалов [3-5], необходим корректный учет нелинейности термоупругого отклика вещества.

### Список литературы

- [1] Боршковский И.А., Воловик В.Д., Гришаев И.А., Дубовик Г.П., Залюбовский И.И., Петренко В.В. // Письма в ЖЭТФ. 1971. Т. 13. В. 10. С. 546-549.
- [2] McLean F.B., Oswald R.B., Jr., Schallhorn D.R., Buxton L.D. // J. Appl. Phys. 1971. V. 42. N 9. P. 3474-3478.
- [3] Залюбовский И.И., Калиниченко А.И., Лазурник В.Т. Введение в радиационную акустику. Харьков: Вища школа, 1986. 168 с.
- [4] Ганн В.В., Жуков А.И., Блажевич С.В. // Вопросы атомной науки и техники. Сер.: физика радиационных повреждений и радиационное материаловедение. 1983. В. 4(27). С. 75-78.

[5] Б л и н о в В.И., Г е р и н г Г.И., Е л и с е е в Н.А.//  
ЖТФ. 1986. Т. 56. № 11. С. 2228-2231.

Харьковский государственный  
университет  
им. А.М. Горького

Поступило в Редакцию  
7 января 1989 г.

Письма в ЖТФ, том 15, вып. 7  
06.3; 12

12 апреля 1989 г.

СВЕРХБЫСТРОДЕЙСТВУЮЩИЙ Р-1-Н ФОТОДИОД  
НА ОСНОВЕ  $GaInAsSb$  ДЛЯ СПЕКТРАЛЬНОГО  
ДИАПАЗОНА 1.5-2.3 мкм

И.А. А н д�еев, М.А. А фрайлов,  
А.Н. Б аранов, С.Г. Конников,  
М.А. Мирсагатов, М.П. Михайлова,  
О.В. Салата, В.Б. У манский,  
Г.М. Ф иларетова, Ю.П. Я ковлев

В ИК-волоконно-оптических линиях связи на основе флюоридных волокон в спектральном диапазоне 2-4 мкм ожидаются потери менее 0.01 дБ/км [1], что на порядок ниже, чем в кварцевых волокнах в диапазоне 1.3-1.6 мкм. Прогресс, достигнутый в технологии создания таких волокон [2], и сообщение о первом промышленном выпуске флюоридного волокна [3] стимулируют интерес к созданию элементной базы ИК-ВОЛС III поколения (источников света и фотоприемников) для этого спектрального диапазона.

В последние годы появились сообщения о создании эффективных инжекционных лазеров на основе твердых растворов  $GaInAsSb$  для диапазона 2-2.4 мкм [4-6], в том числе работающих в непрерывном режиме при комнатной температуре [7], а также некоторые работы по фотоприемникам для этого диапазона на основе многокомпонентных твердых растворов  $A^3B^5$  [8, 9].

Ранее [9] мы сообщали о создании и исследовании первых неохлаждаемых фотодиодов с постоянной квантовой эффективностью  $\sim 0.6$  в диапазоне 1.4-2.2 мкм и быстродействием  $\tau \approx 0.5$  нс, а также лавинных фотодиодов [10] на основе твердых растворов  $GaInAsSb / GaAlAsSb$ .

В настоящей работе приведены результаты создания и исследования сверхбыстродействующего р-*i*-п фотодиода на основе  $GaInAsSb$ .

Структуры выращивались методом ЖФЭ на подложке  $GaSb$  р-типа с концентрацией носителей заряда  $p=2 \cdot 10^{17} \text{ см}^{-3}$ . Слой твердого раствора толщиной 2 мкм  $GaInAsSb$  с шириной запрещенной зоны  $E_g = 0.53$  эВ, специально не легированного, накрывался широкозонным слоем  $N^+ - GaAlAsSb$  с концентрацией  $N = 10^{18} \text{ см}^{-3}$  ( $E_g \approx 1.2$  эВ) и толщиной 3 мкм.